

スエーデン貫入値と土の強度定数C・φとの相関性について

東北工業大学 正会員 渡田敏江
伊藤孝男

§ I. まえがき

最近、新幹線、高速道路、宅地造成等による盛土工事が多く見られ、それに伴って盛土斜面の崩壊等による災害の発生も多くなったことが予想される。

現在、完成後の盛土斜面の災害予知の調査方法として、スエーデン式サウンディング貫入試験、コーン貫入試験等により盛土の締固め具合のチェックを行ない、締固めのややしむる部分と硬い部分（スエーデン式サウンディング貫入試験、半回転数N_{sw}=25%）の境界附近にすべり面を想定し（実際には想定すべき面内には種々の半回転数N_{sw}の部分が含まれている）、安定解析用ひずみ強度定数（C・φ）は全く独立した土質実験より求めて解析を行なう方法がとらわれている。この場合、想定すべき面内の締き具合（湿润密度）の違いによる強度定数（C・φ）の相違を無視した強度定数を安定解析用強度定数として用ひているのが現状である。

そこで盛土材料として使用される試料により室内実験を行ない、スエーデン式サウンディング貫入試験より得られた半回転数（N_{sw}）と土の強度定数（C・φ）との相関性を調べることにより、想定すべき面内の種々の半回転数は相違する適切（地下水の影響を考慮）な強度定数を求める、すなわち安定解析用強度定数として用ひることによりこの種の解析の一歩を手立てせりである。

§ II. 実験試料および実験方法

（2-1） 実験試料

本実験に用いた試料は宮城県泉市における宅地造成地の長大盛土斜面より採取したものであり、試料の物理的力学的性質試験の結果は表-1に示すところである。

（2-2） 実験方法

スエーデン式サウンディング貫入試験において載荷重（W_{sw}）および半回転数（N_{sw}）の測定値から推定された土の一軸圧縮強さ（q_u）との関係については、橋田信徳氏の研究報告により W_{sw}(kg)、N_{sw}(回) と一軸圧縮強さ q_u(kg) との一般的な関係式として $q_u(\text{kg}) = 0.0045W_{sw}(\text{kg}) + 0.0075N_{sw}(\text{回})$ が示されている。本実験における N_{sw}(回) が 0, 20, 40, 60, 80 回に対応する各々の q_u(kg) 値に近似すると、たる湿润密度 (r_f) を一軸圧縮試験により求め、その各々の湿润密度 (r_f) により供試体を作成し、一面せん断試験、透水試験、コーン指數試験について実験を行なつた。

§ III. 実験結果および考察

一軸圧縮試験により各々の半回転数（N_{sw}）に相当する q_u(kg) 値とたる湿润密度 (r_f) を用いて、それを此の実験の供試体を作成し実験を行なつた。また、一面せん断試験およびコーン指數試験については不飽和・飽和状態（地下水の影響を考慮）の比較実験を行ない、それらの強度の低下比を求め試験結果を表-1に、相関図として図-1に示した。

以上、試験結果の相関図より、不飽和・飽和時の粘着力 (C) の低下は約 0.15% であり、半回転数 (N_{sw}) との関連性

（表-1） 土質試験結果

自然含水比 (w _n)	29.5%								
比重 (G _s)	2.541								
液性限界 (LL)	NP								
塑性限界 (PL)									
粒度	三角座標分類 砂質土-1 透水係数 0.001m/h 0.005m/h 0.01m/h 0.05m/h 0.1m/h 0.5m/h 1.0m/h 5.0m/h								
	64	23	13	2.0	2.260	2.082	2.012	1.300	3.4
単位体積重量	湿潤密度 (r _f) 1.760 g/cm ³								
	乾燥密度 (r _d) 1.360 g/cm ³								
透水係数 (K)	6.30 × 10 ⁻⁴ cm/sec								
土の強度定数	粘着力 (C) 0.20%								
	内部摩擦角 (φ) 32°00'								
締固め	最適含水比 (w _{opt}) 30%								
	最大乾燥密度 (G _{max}) 1.325 g/cm ³								

においては $N_{sw} = 25\%$ 付近を変曲

(表-2) 試験結果一覧

以下では粘着力(C)は急激に減少し、以上ではやや増加の傾向を示してい。このことはコーン指數(R_c)についても同様の傾向が内部摩擦角(ϕ)についても不飽和・飽和時の低下は約 1° ~ $1^{\circ}30'$ であり、半回転数(N_{sw})

との関連性においては顕著でありわずか増加してい程度である。このように不飽和・飽和時の粘着力(C)、内部摩擦角(ϕ)およびコーン指數(R_c)の挙動は、間げき比(e)による影響が大と思われる盛土における締固め状態が斜面の安定性がなりの要因を示していることを知る。

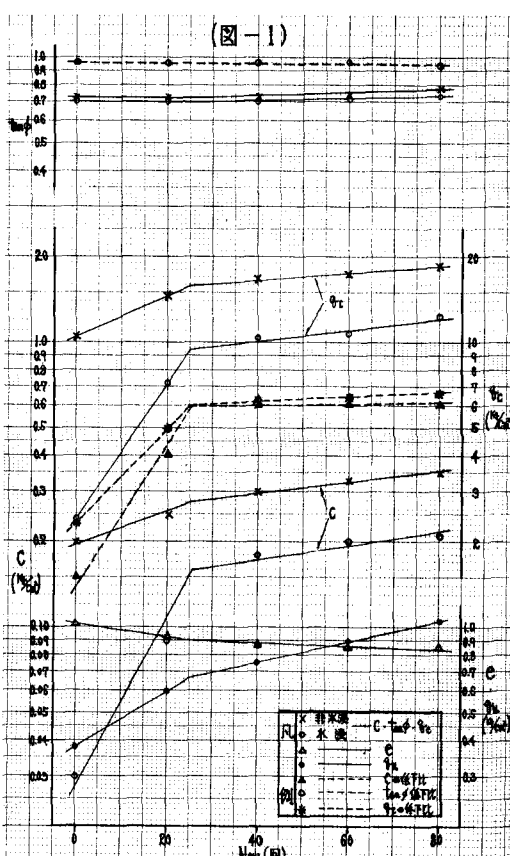
S4 もろび

試験結果より半回転数(N_{sw})が 25% 付近において間げき比(e)、粘着力(C)、内部摩擦角(ϕ)、コーン指數(R_c)の変曲点が示されることは、盛土斜面の締固め具合をエッジ法で評価する方法であるスイーデン式サウンディング貫入試験の結果から、 $N_{sw}=25\%$ ($N_{sh}=4$ に相当) をゆるい部分とやせこみ部分との境界とし、この部分は接するやせこみ面を想定して安定解析を行なっていることは一応うなずける結果である。

しかし、少なくとも $N_{sw}=25\%$ のみれ接するようなくせこみ面を想定することは困難であり、ほとんどの場合 $N_{sw}=25\%$ 以外の部分を含むやせこみ面を想定せざるを得ない。このようにの場合の安定解析に使用する土の強度定数($C \cdot \phi$)は従来の单なる土壌実験より得られたものではなく、本実験のように半回転数(N_{sw})と土の強度定数($C \cdot \phi$)の相関性を見出し、式(2)をもとに各半回転数(N_{sw})に対応し、式(3)に地下水の状態を考慮した強度定数($C \cdot \phi$)を求り、それを安定解析用強度定数として解析する方法を提唱するものである。

貫入値 (半回転数) N_{sw}	単位荷重 強度 q_u (%)	貫入量 R_c (%)	間げき比 e	不 飽 和			飽 和			低 下 比			
				粘着力 C_u (%)	内部摩擦角 ϕ_u (deg)	コーン指數 R_c (%)	水深 H (m)	粘着力 C (%)	内部摩擦角 ϕ (deg)	コーン指數 R_c (%)	粘着力 $C-R$	内部摩擦角 $\phi-R$	コーン指數 R_c-R
0	0.384	1.630	1.027	0.20	26.00° (0.920)	10.35	9.15×10 ⁻³	0.03	35.00° (0.920)	2.90	0.150	0.963	0.232
20	0.601	1.764	0.939	0.25	26.00° (0.920)	14.65	2.25×10 ⁻³	0.10	35.00° (0.920)	7.25	0.400	0.963	0.975
40	0.784	1.765	0.872	0.30	26.00° (0.920)	17.00	6.77×10 ⁻³	0.18	35.00° (0.920)	10.65	0.600	0.963	0.628
60	0.900	1.769	0.867	0.33	26.00° (0.920)	17.80	4.31×10 ⁻³	0.20	35.00° (0.920)	10.95	0.606	0.964	0.626
80	1.054	1.781	0.855	0.35	26.00° (0.920)	18.75	3.79×10 ⁻³	0.21	35.00° (0.920)	12.50	0.600	0.931	0.657

(注) 試験の初期含水比は $W_s=30\%$ である。



参考文献

1. 香藤道孝, 上沢弘, 先島貞久, 安田祐作: 人工降雨による新幹線盛土斜面の耐剪强度。機械技術研究報告 No.588, 鉄道技術研究所, 1967
2. 稲田信輔: スイーデン式サウンディング貫入試験結果の使用について。土と基礎 Vol.8, No.1, 1960
3. 土質工学会編: 土質調査法 P234~P240
4. 土質工学会編: 土質調査試験結果の解釈と適用則 P22~P24